

УДК 541.44

ФИЗИЧЕСКАЯ ХИМИЯ

И. Т. БЕЛАШ, В. Е. АНТОНОВ, Е. Г. ПОНЯТОВСКИЙ

**СИСТЕМА Со — Н ПРИ ВЫСОКОМ ДАВЛЕНИИ ВОДОРОДА**

(Представлено академиком Г. В. Курдюмовым 18 III 1977)

Известно, что в 3d-металлах Sc, Ti и V при  $P_{\text{H}_2} < 1$  атм. (¹), а в Cr (²), Mn (³, ⁴) и Ni (⁵) — при высоком давлении водорода происходят фазовые превращения, сопровождающиеся резким увеличением растворимости водорода (фазовые  $T-P$ -диаграммы систем Cr—Н, Mn—Н и Ni—Н исследованы в работах (⁶, ⁷, ⁸, ⁹) соответственно). Заметной растворимости водорода в Fe при  $T=25^\circ\text{C}$  не обнаружено вплоть до  $P_{\text{H}_2}=30$  кбар (¹⁰). Растворимость водорода в последнем оставшемся 3d-металле — кобальте — мала при атмосферном давлении (атомное отношение водород/металл  $n=6,36 \cdot 10^{-5}$  при  $T=700^\circ\text{C}$  и медленно растет с температурой (¹¹)). Система Со—Н при высоком давлении водорода до настоящего времени не исследовалась.

В данной работе изучено поведение электросопротивления кобальта в инертной среде (силикон) и в атмосфере водорода при давлении до 21 кбар и температуре до  $350^\circ\text{C}$ ; влияние водорода на температуру  $\varepsilon \rightarrow \gamma$ -перехода между г.п.у. и г.ц.к. кристаллическими модификациями кобальта при давлении до 25 кбар; исследована растворимость водорода в Со при  $P_{\text{H}_2}$  до 65 кбар.

Образцы в виде пластинок толщиной 0,15 мм получали резкой на электроискровом станке поликристаллических полос кобальта с последующим травлением в азотной кислоте до достижения необходимой толщины. Измерения, проведенные на образцах, вырезанных из полос без предварительной термообработки, из полос, отожженных в течение 1 часа при  $T=1100^\circ\text{C}$  и охлажденных с печью, и полос, закаленных после такого отжига в воде, дали одинаковые результаты. Во всех случаях образцы были заметно текстурированы. При давлении до 25 кбар температура измерялась термопарой хромель-алюмель с точностью  $\pm 5^\circ$ , давление — манганиновым манометром с точностью от  $\pm 0,5$  кбар при  $T \leq 350^\circ$  до  $\pm 1,5$  кбар при  $T \sim 500^\circ$ . При измерениях в водороде термопара и манганиновый манометр были изолированы от его прямого воздействия. Максимальная погрешность измерения давления при  $P_{\text{H}_2} > 25$  кбар составляет  $\pm 4$  кбар, температуры  $\pm 15^\circ$ .

Изотермы электросопротивления кобальта в инертной среде и в атмосфере водорода приведены на рис. 1. Различие в поведении изотерм  $R=R(P)$  в водороде и силиконе указывает на увеличение равновесной концентрации водорода в кобальте по мере повышения его давления. Вследствие диффузионного характера образования твердого раствора Со—Н появляется временная зависимость сопротивления образца  $R=R(\tau)$  при фиксированных  $T$  и  $P_{\text{H}_2}$  после изменения давления. Поэтому для получения приведенных на рис. 1 равновесных значений сопротивления применяли следующую процедуру: давление изменяли ступенями через 3–5 кбар и при каждом фиксированном давлении образец выдерживали в течение времени  $\Delta\tau$  до насыщения зависимости  $R=R(\tau)$ , а на график наносили конечное значение сопротивления. Величина  $\Delta\tau$  составляла  $\sim 10$  мин. при  $T=200^\circ\text{C}$ , быстро уменьшалась с ростом температуры и при  $T=350^\circ\text{C}$  не превышала 1 мин. Из рис. 1 видно, что по мере повышения

температуры уменьшается и различие в поведении изотерм сопротивления в водороде и силиконе. По-видимому, это связано с понижением растворимости водорода в кобальте с увеличением температуры при высоких давлениях. Поскольку при атмосферном давлении растворимость растет с температурой, при увеличении давления водорода теплота его растворения в кобальте должна, таким образом, менять знак (как это происходит, например, в системе Ni-H<sup>(12)</sup>).

Температуры  $\epsilon \rightarrow \gamma$ - и  $\gamma \rightarrow \epsilon$ -превращений в инертной среде фиксировали как методом д.т.а., так и по аномалиям на изобарах температурной зависимости электросопротивления  $R=R(T)$ , в атмосфере водорода — только по аномалиям электросопротивления с точностью  $\pm 10^\circ\text{C}$ . Наши данные по зависимости температур  $T_\gamma$  и  $T_\epsilon$  переходов  $\epsilon \rightarrow \gamma$  и  $\gamma \rightarrow \epsilon$  от давления

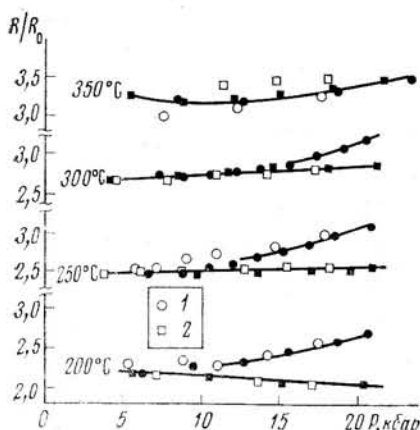


Рис. 1

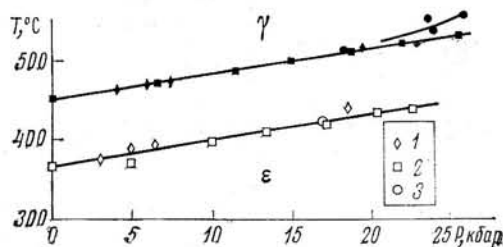


Рис. 2

Рис. 1. Изотермы электросопротивления кобальта в среде водорода (1) и в инертной среде (2). Темные значки — точки, снятые при повышении давления, светлые — при снижении

Рис. 2. Зависимость температур  $T_\gamma$  (темные значки) и  $T_\epsilon$  (светлые значки) кобальта от давления. 1; 2 — в инертной среде (1 — по д.т.а.; 2 — по электросопротивлению); 3 — в водороде (по электросопротивлению)

в инертной среде и в водороде до 25 кбар приведены на рис. 2. Видно, что зависимости  $T_\gamma=T_\gamma(P)$  и  $T_\epsilon=T_\epsilon(P)$  в инертной среде близки к линейным, причем значения, определенные методом д.т.а. и по аномалиям на изобарах  $R=R(T)$ , хорошо согласуются. Определенная нами величина  $dT_\gamma/dP=-3,3 \pm 0,3^\circ\text{C} \cdot \text{кбар}^{-1}$  в инертной среде, что удовлетворительно согласуется и с литературными данными<sup>(13)</sup>. Гистерезис превращения  $\epsilon \rightleftharpoons \gamma$ , составляющий  $\sim 85^\circ\text{C}$  при  $P=1$  атм., слабо зависит от давления:  $dT_\epsilon/dP=-3,5 \pm 0,3^\circ\text{C} \cdot \text{кбар}^{-1}$ .

На рис. 2 видно, что при  $P=25$  кбар растворение водорода в кобальте приводит к небольшому повышению  $T_\gamma$  относительно ее значения при том же давлении в инертной среде. Малость эффекта обусловлена, по-видимому, слабой растворимостью водорода в обеих фазах кобальта при  $P_{\text{H}_2} \sim 20-25$  кбар при температуре  $\epsilon \rightarrow \gamma$ -перехода, что согласуется с данными по электросопротивлению  $\epsilon$ -фазы (рис. 1). Анализ содержания водорода и рентгеновские измерения проводились при атмосферном давлении на образцах, насыщенных водородом при высоком давлении. Образцы получали следующим образом: после выдержки пластиинки кобальта при выбранных  $T$  и  $P_{\text{H}_2}$  в течение времени  $\tau_{\text{выд}}$  температуру в камере высокого давления опускали до комнатной, затем давление снижали до атмосферного, образцы извлекали из камеры и погружали в жидкий азот для предотвращения выделения водорода. Как показали эксперименты, скорость разложения растворов Co—H становится заметной лишь при  $T > -10^\circ\text{C}$ ; выделение во-

дорода из образцов при комнатной температуре продолжалось около двух часов. Поскольку манипуляции с образцами Со—Н при атмосферном давлении до помещения их в жидккий азот продолжались не более 2–3 мин., потери водорода до химического анализа (измерялось количество силикона, вытесняемое водородом из сосуда с мерными делениями при разложении образцов Со—Н при комнатной температуре) не должны были превышать 5 % его содержания в образце.

Полученные значения концентрации  $n$  приведены в табл. 1. Видно, что увеличение давления водорода приводит к монотонному увеличению

Таблица 1

Условия получения			$n$	$\Delta a \cdot 10^3$	$\Delta c \cdot 10^3$	$\Delta V_e (n), \text{ \AA}^3$	$(\frac{c}{a})_n / (\frac{c}{a})_0$
$P_{H_2}$ , кбар	$T, ^\circ\text{C}$	$\tau_{\text{выд}}, \text{ час.}$					
23	150	3	$0,01 \pm 0,03$	—	—	—	—
46	325	2	$0,30 \pm 0,02$				
65	325	2	$0,41 \pm 0,04$	$55 \pm 3$	$84 \pm 5$	$0,72 \pm 0,03$	$0,999 \pm 0,003$
65	225	2	$0,51 \pm 0,04$	—	—	—	—
65	225	0,5	$0,21 \pm 0,01$	$31 \pm 5$	$29 \pm 5$	$0,34 \pm 0,05$	$0,995 \pm 0,005$

его растворимости в  $\epsilon$ -Со, а при увеличении температуры растворимость уменьшается. Приведенные в табл. 1 значения концентрации водорода в растворах (кроме последней строки) близки к равновесным при условиях образования этих растворов: выдержка пластиинки кобальта при  $P_{H_2}=65$  кбар и  $T=225^\circ\text{C}$  свыше 2 час. не привела к заметному увеличению  $n$ .

Два образца с  $n=0,21$  и  $0,42$  были исследованы на дифрактометре УРС-50ИМ на излучении  $\text{Fe } K_\alpha$  в режиме непрерывного нагрева со скоростью  $1^\circ\text{C} \cdot \text{мин}^{-1}$ . Полученные дифрактограммы (рис. 3) показали, что при атмосферном давлении распад этих образцов на металл и водород носит (как и распад  $\gamma$ -растворов  $\text{Fe}-\text{Ni}-\text{H}$  (<sup>14</sup>)) двухфазный характер: изучаемые дифракционные линии (002) и (101) не смещаются со временем к большим углам, что соответствовало бы однородному объединению образца водородом, а расщепляются на две, одна из которых соответствует параметрам кристаллической решетки раствора с концентрацией водорода  $n$ , а вторая — кобальта без водорода. В процессе разложения раствора Со—Н интенсивность первых линий падает, вторых — растет. Отметим, что отсутствие размытия линий на дифрактограммах, снятых до начала разложения образцов Со—Н (рис. 3 А, а и 3 Б, а), указывает на однородность распределения водорода по объему не только в образце  $\text{CoH}_{0,42}$ , насыщенном при высоком давлении водорода до равновесной концентрации, но и в образце  $\text{CoH}_{0,21}$ , концентрация водорода в котором значительно меньше равновесной ( $n \sim 0,5$ ) вследствие недостаточного для установления равновесия времени выдержки при высоком давлении (табл. 1). Это означает, что кинетика образования растворов Со—Н при высоком давлении водорода определяется поверхностными эффектами, а не скоростью диффузии водорода в кобальте. Однородность образца с  $n=0,21$  означает также отсутствие в системе Со—Н при  $P_{H_2} \leq 65$  кбар и  $T=225^\circ\text{C}$  расслоения на фазы твердого раствора, обедненного и обогащенного водородом (такое расслоение наблюдается, например, в системе Ni—H (<sup>5, 8, 9</sup>)).

Вычисленные по расщеплению дифракционных линий при разложении образцов разности параметров решетки кобальта при комнатной температуре в растворе Со—Н концентрации  $n$  и в металле без водорода приведены в табл. 1. Из данных, приведенных в этой таблице, видно также, что отношение параметров элементарной ячейки кобальта  $c/a$  не меняется при внедрении в кобальт водорода, а увеличение объема кристалла  $\Delta V_e$ , приходящегося на 1 атом кобальта в  $\epsilon$ -решетке, линейно растет, причем  $\Delta V_e/n = (1,65 \pm 0,2) \text{ \AA}^3$ . Отметим, что при  $n < 0,7$  растворение водорода в

металлах с г.ц.к. решеткой (Ni, Pd и их сплавах) приводит к существенно большему возрастанию объема кристалла. Согласно (15), в них  $\Delta V_t/n = 2,85 \text{ \AA}^{-3}$ .

Итак, из наших измерений вытекает следующая картина поведения системы Со—Н при давлениях водорода до 20–25 кбар: с ростом давления температурный интервал стабильности  $\epsilon$ -фазы кобальта расширяется; концентрация водорода в твердом растворе на базе  $\epsilon$ -решетки Со плавно возрастает при увеличении давления и понижается при увеличении температуры.

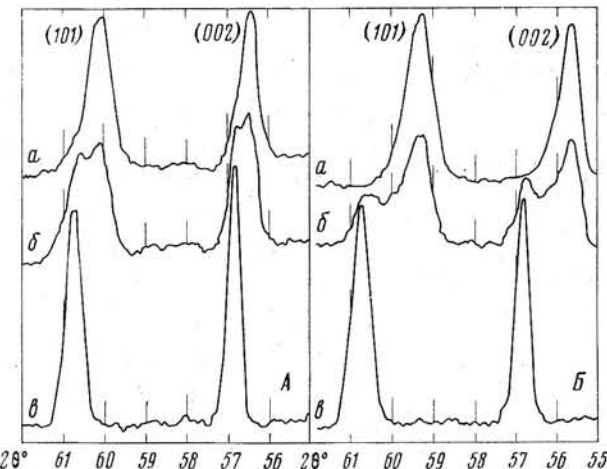


Рис. 3. Диффрактограммы линий (002) и (101) образцов  $\text{CoH}_{0,21}$  (A) и  $\text{CoH}_{0,42}$  (B), снятые на излучении  $\text{FeK}_\alpha$  при атмосферном давлении с разверткой по углу со скоростью  $d(2\theta)/dt = -2$  град. $\cdot$ мин $^{-1}$ . a – в режиме непрерывного нагрева со скоростью  $1^\circ\text{C}\cdot\text{мин}^{-1}$  при  $T = -35^\circ$  (до начала разложения образца); б – в том же режиме при  $T = 0^\circ$  (через 35 мин. после съемки a); в – снято при  $T = 20^\circ\text{C}$  через сутки (после полного разложения образца)

Химический анализ и рентгеновские измерения подтверждают наличие области непрерывной растворимости водорода в  $\epsilon$ -Со вплоть до  $P_{\text{H}_2} = 65$  кбар, при котором концентрация твердого раствора Со—Н может достигать значений, сравнимых со стехиометрическим: при  $T = 225^\circ\text{C}$  получен состав  $\text{CoH}_{0,51 \pm 0,04}$  (табл. 1).

Авторы благодарят К. А. Пересаду, Б. А. Абдикамалова, А. И. Амелина, А. Н. Грачева за помощь в проведении экспериментов, а также В. Ш. Шехтмана за любезно предоставленную рентгеновскую аппаратуру.

Институт физики твердого тела  
Академии наук СССР  
Черноголовка Московской обл.

Поступило  
18 III 1977

#### ЛИТЕРАТУРА

- <sup>1</sup> Ю. В. Левинский, Диаграммы состояния металлов с газами, М., «Металлургия», 1975.
- <sup>2</sup> B. Baranowski, K. Bojarski, Roczniki Chem., v. 46, 525 (1972).
- <sup>3</sup> Е. Г. Понятовский, И. Т. Белаш, ДАН, т. 224, 607 (1975).
- <sup>4</sup> M. Kruckowski, B. Baranowski, Roczniki Chem., v. 49, 1183 (1975).
- <sup>5</sup> B. Baranowski, R. Wiśniewski, Bull. Acad. Polon. Sci., v. 14, 273 (1966).
- <sup>6</sup> Е. Г. Понятовский, И. Т. Белаш, ДАН, т. 229, 1171 (1976).
- <sup>7</sup> M. Kruckowski, B. Baranowski, J. Less-Common Metals, v. 49, 385 (1976).
- <sup>8</sup> Е. Г. Понятовский, В. Е. Антонов, И. Т. Белаш, ДАН, т. 229, 391 (1976).
- <sup>9</sup> В. Е. Антонов, И. Т. Белаш, Е. Г. Понятовский, ДАН, т. 233, № 6 (1977).
- <sup>10</sup> B. Baranowski, S. Filipiak, Roczniki Chem., v. 47, 2165 (1973).
- <sup>11</sup> М. М. Антонов, Свойства гидридов металлов, Киев, «Наукова думка», 1975.
- <sup>12</sup> I. Czarnota, B. Baranowski, Bull. Acad. Polon. Sci., v. 14, 191 (1966).
- <sup>13</sup> G. C. Kennedy, R. C. Newton, In: Solids under Pressure, N. Y.—London, 1963, p. 176.
- <sup>14</sup> Е. Г. Понятовский, В. Е. Антонов, И. Т. Белаш, ФТТ, т. 18, 3661 (1976).
- <sup>15</sup> B. Baranowski, S. Majchrzak, T. B. Flanagan, J. Phys. F, Metal Phys., v. 1, 258 (1971).